

الباب السادس عشر

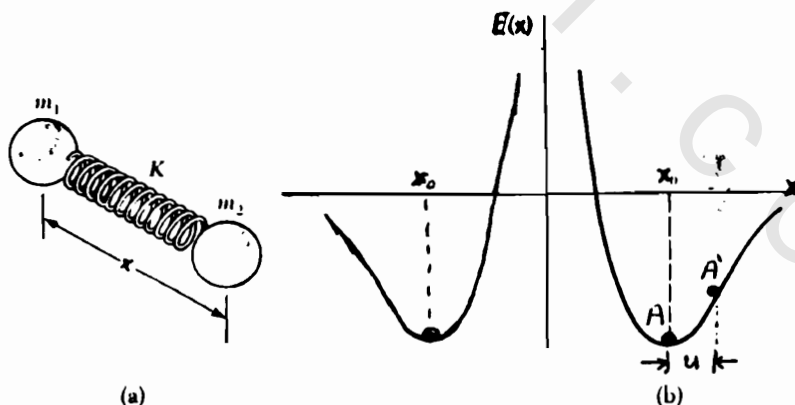
ديناميكية الشبكة : Lattice Dynamics

عند درجة الصفر المطلق تستقر الذرات في آلة شبكة في مواضع الاتزان في حالة سكون ولكن رفع درجة الحرارة يسبب تتبّع هذه الذرات حول مواضع الاتزان بسرعة حركة تتوقف على درجة الحرارة وقد تصل مقدار هذه السعة إلى ١٠٪ من المسافة بين الذرات المجاورة عندما تصبح درجة الحرارة مرتفعة.

التrepid النوى : Atomic frequency of vibration

اعتبر شبكة بلورية يكون لكل نورة فيها عدد Z جار قریب ، شكل (١٦ - ١) .
نفرض أن (x_0) تمثل طاقة الموضع للذرة عند وضع الاتزان x_0 نفرض أن التغير في طاقة الذرة A عند إزاحتها إلى الوضع A' هو : E وأن الإزاحة بين الوضعين هي : u

$$\begin{aligned}\therefore \Delta E &= \frac{2}{Z} \left[|E(x_0 + u) - E(x_0)| - |E(x_0) - E(x_0 - u)| \right] \\ &= \frac{2}{Z} [E(x_0 + u) + E(x_0 - u) - 2E(x_0)]\end{aligned}$$



شكل ١٦ - ١

يلاحظ أننا قسمنا المعادلة على Z عند الجiran وذلك للحصول على التغير في الطاقة لكل ذرة كما أنتا ضربينا المقدار في ٢ وذلك لأن حركة أيّة ذرة بالنسبة لأخرى تجاورها يسبب زيادة في طاقة الموضع بنفس المقدار لكل من الذرتين .

نفك المقاديرن (u) & $E(x + u)$ بفكوك تيلور

$$\therefore E(x_0 + u) = E(x_0) + \frac{\partial E}{\partial x} \cdot u + 1/2 \cdot \frac{\partial^2 E}{\partial x^2} \cdot u^2 + \dots$$

$$E(x_0 - u) = E(x_0) - \frac{\partial E}{\partial x} \cdot u + 1/2 \cdot \frac{\partial^2 E}{\partial x^2} \cdot u^2 - \dots$$

$$- 2E(x_0) = - 2E(x_0)$$

بالجمع نحصل على :

$$E(Ex_0 + u) + E(x_0 - u) - 2E(x_0) = \frac{\partial^2 E}{\partial x^2} \cdot u^2$$

$$\therefore \Delta E = \frac{2}{z} \cdot \frac{\partial^2 E}{\partial x^2} \cdot u^2 = 1/2 \propto u^2$$

$$\propto = \frac{4}{z} \cdot \frac{\partial^2 E}{\partial x^2}$$

حيث

أى أن التغير في الطاقة يتتناسب طرديا مع مربع الإزاحة \propto وتكون القوة المؤثرة على كل ذرة بدلالة الإزاحة هي :

$$F = - \frac{d}{du} (\Delta E) = - \propto u$$

وتكون بذلك المعادلة التفاضلية للحركة :

$$m \cdot \frac{d^2 u}{dt^2} = - \propto \cdot u$$

حيث : m هي الكتلة الذرية

حل المعادلة السابقة ، وهي على شكل حركة توافقية بسيطة ، هو :

$$u = A \cos \omega t$$

حيث :

$$\omega = 2\pi f = \sqrt{\frac{\infty}{m}}$$

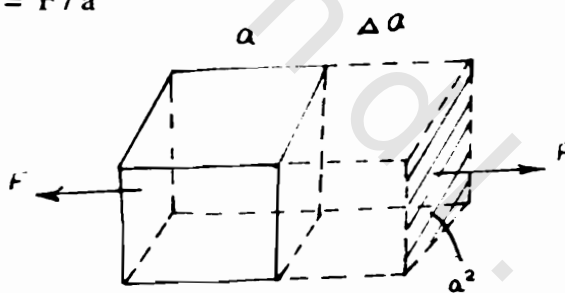
وذلك يكون التردد الذري هو :

$$f = \frac{1}{2\pi} \sqrt{\frac{\infty}{m}}$$

حيث ∞ هو ثابت القوة أى القوة التى تحدث وحدة الإزاحة ، ويمكن تقديره عملياً بالاستعانة بنظرية المرونة .

إذا أثربنا بقوة F على مكعب من المادة طول ضلعه الوحدة شكل (٢ - ١٦) تكون ∞ هي القوة اللازمة لكي تحدث أستطالة فى المكعب مقدارها الوحدة وذلك بافتراض صحة قانون هوك .

$$\therefore Y \frac{\Delta a}{a} = F/a^2$$



شكل (٢ - ١٦)

حيث Y هو معامل يونج للمرونة .

$Y = F = \infty$ وباعتبار أن كل من a ، Δa يساويان الوحدة تكون

أى أن ثابت القوة ∞ يكون فى حدود القيمة ٢٥ نيوتن / متر وإذا اعتربنا مادة مثل النحاس تكون كتلة الذرة الواحدة فيه هي : حوالي 10^{-29} كيلوجرام وبالتعويض فى مادة

التردد نحصل على :

$$f = \frac{1}{2\pi} \sqrt{\frac{25}{10^{-25}}} = 10^{13} / \text{c/s}$$
 تقربيا

ومن الواضح أننا إذا اعتبرنا جميع الحركات الممكنة للذرات المختلفة فإننا نجد ضرورة وجود ترددات أخرى كثيرة .

النظرية الكلاسيكية للحرارة الذرية :

Classical theory of specific heats of solids :

وجد ديلونج وبقى قدیما بالتجربة أن حاصل ضرب الوزن الذري مضروبا في الحرارة النوعية يكون مقدار ثابت لمواد كثيرة ، ويساوي تقربيا العدد ٦ . وقد أوحى تلك المشاهدات أن ذرات المواد المختلفة لها نفس السعة الحرارة ، وأن الحرارة تخزن داخل المادة على شكل طاقة حركة داخلية .

استندت النظرية الكلاسيكية على قانون تساوى توزيع الطاقة Law of equipartition of energy أن طاقة المتذبذب لكل درجة من درجات الحرية هي $1/2 kT$.

فى حالة المواد الصلبة يكون لكل ذرة طاقة حرقة وطاقة موضع ، ولذلك فالطاقة المتوسطة للمتذبذب تكون kT .

يمكن الوصول لهذه النتيجة رياضيا باعتبار طاقة المهازن التوافقى

$$E = p^2/2m + 1/2 m \omega^2 u^2$$

حيث ω هي السرعة الزاوية ، p هي كمية الحركة ، u هي الإزاحة من وضع الاتزان .

الحد الأول فى المعادلة : يمثل طاقة الحركة والحد الثانى يمثل طاقة الموضع .

بتطبيق الميكانيكا الاحصائية الكلاسيكية تكون الطاقة المتوسطة للمهازن هي .

$$\bar{E} = \int_0^{\infty} E e^{-E/kT} dE / \int_0^{\infty} e^{-E/kT} dE = kT$$

حيث k هو ثابت بولتزمان
 T درجة الحرارة المطلقة .

اعتبر ١ جم ذرى من المادة يحتوى على عدد افوجادرو N ذرات . الطاقة الداخلية للمجموعة هي :

$$U = N \times 3 kT$$

الحرارة الذرية هي :

$$C_v = \frac{\delta U}{\delta T} = 3 Nk = 3 R = 6$$

حيث R هو ثابت الغاز ويساوى Nk
يكون هذا القانون صحيحا في درجات الحرارة المرتفعة فقط وقد وجد أن الحرارة الذرية للمواد تنقص تدريجيا وتؤول إلى الصفر عند الصفر المطلق . هذه الحقيقة العملية يجعل النظرية الكلاسيكية غير قادرة على تفسير نقص C_v مع T .
ولا يمكن أن يفسر هذا النقص باختفاء درجات من الحرية للمهتز التوافقى الذرى إذ أن ذلك يستلزم أن يكون النقص فى C_v نصا سلما وليس متصلاكما أنتا لا يمكننا افتراض وجود كسور من درجات الحرية . fractional degrees of freedom .

نظرية أينشتين للحرارة الذرية : Einstein's theory

فسر أينشتين فشل النظرية الكلاسيكية للحرارة الذرية بسبب اعتبار أن الطاقة المتوسطة للمهتز هي T لكل درجة من درجات الحرية . أدخل بدلا من ذلك نظرية بلانك الكمية التي تتضى على أن أي مهتز يبعث أو يتمتص الطاقة على شكل كمى hf حيث h هو ثابت بلانك و f هو تردد المهتز .

الطاقة المتوسطة الكمية للمهتز التوافقى :

اعتبر مجموعة من المتذبذبات التوافقية تكون مجموعة ما عددها N نفرض أن N_0 هو

عدد المتذبذبات ذات الطاقة صفر، بتطبيق إحصاء بولتزمان يكون عدد المتذبذبات ذات الطاقة E هو :

$$N_0 e^{-\epsilon/kT}$$

ويكون العدد الكلى للمتذبذبات ذات الطاقة f ، $2hf$ ، $3hf$... هو :

$$\begin{aligned} N &= N_0 + N_0 e^{-hf/kT} + N_0 e^{-2hf/kT} + \dots \\ &= N_0 (1 + e^{-x} + e^{-2x} + \dots) \end{aligned}$$

$$x = hf/kT \quad \text{حيث .}$$

مجموع هذه المتسلسلة هو :

$$N = \frac{N_0}{(1 - e^{-x})^{-1}}$$

وإيجاد الطاقة نضرب عدد المهاز فى طاقة كل منها ثم نجمع :

$$\begin{aligned} \therefore E &= 0 \cdot N_0 + hf N_0 e^{-x} + 2 hf N_0 e^{-2x} + \dots \\ &= hf N_0 e^{-x} (1 + 2e^{-x} + 3e^{-2x} + \dots) \\ &= hf N_0 e^{-x} (1 - e^{-x})^{-2} \end{aligned}$$

وبالتعويض بدلا من N_0 نحصل على :

$$E = N hf \frac{e^{-x}}{1 - e^{-x}} = \frac{N hf}{(e^x - 1)}$$

أى أن الطاقة المتوسطة الكمية للمهاز التوافقى الواحد هي :

$$\frac{hf}{e^{hf/kT} - 1}$$

اعتبر أينشتين أن ذرات المادة هى متذبذبات توافقية تردد كل منها f وأن جميع المتذبذبات لها نفس التردد .

$$U = 3N \frac{hf}{e^{hf/kT} - 1} = 3N k T \frac{x}{e^x - 1}$$

بمقابلة U بالنسبة إلى T نحصل على الحرارة النزية

$$C_v = \frac{dU}{dT} = 3R \frac{x^2 e^x}{(e^x - 1)^2} = 3R E(x)$$

$$= 3R E\left(\frac{\theta}{T}\right)$$

حيث (x) هي دالة أينشتين، $\theta = \frac{hf}{k}$ هي درجة الحرارة المميزة للمادة

. characteristic temperature

بحص دالة أينشتين رياضيا عند الدرجات الصغيرة جدا والكبيرة جدا نجد الآتى :

$$\lim_{T \rightarrow 0} E\left(\frac{\theta}{T}\right) \longrightarrow 0$$

$$\lim_{T \rightarrow \infty} E\left(\frac{\theta}{T}\right) \longrightarrow 1$$

(x) تقول إلى الصفر عند درجة الصفر المطلق وتقول إلى الواحد الصحيح عند الدرجات المرتفعة ، أي أن الحرارة النزية C_v عند الدرجات المرتفعة تساوى R وهذا يتفق مع نتائج النظرية الكلاسيكية بينما عند الدرجات المنخفضة تقل C_v تدريجيا حتى تؤول إلى الصفر عند درجة الصفر المطلق .

وبالرغم من أن نظرية أينشتين قد فسرت نقص C_v مع درجة الحرارة إلا أن قيم C_v التي أعطتها النظرية كانت عادة أقل كثيرا جدا مما أعطته التجربة .

ولذلك لم يكن نجاح النظرية كاملا ، وقد ظهر فيما بعد أن سبب هذا الاختلاف هو افتراض أن جميع الذرات تهتز بتردد واحد فقط .

: Debye's phonon theory نظرية الفونونات ديباي

افتراض ديباي أن الذبذبات النزية في المادة تكون طيف ترددات له قيمة معينة لا يزيد

عنها cut - off frequency ويتوقف على تركيب الشبيكه لهذه المادة .

وسمى كل موجة phonon mode of vibration فونون وقد اعتبر أن الحركة الذرية في داخل المادة تأخذ شكلًا موجياً وذلك بالنسبة لوجود قوى بينية كبيرة بين الذرات ، ولا يعقل أن تتحرك كل ذرة حركة فردية دون ارتباط بالذرات المحيطة بها ، فقد صور ديباي الحركة الذرية على أنها موجات أو فونونات لها ترددات تتراوح بين الصفر وقيمة عظمى لا تتعادلها . Cut - off frequency

طيف الترددات ديباي :

أثبت ديباي أن دالة الترددات بالنسبة للفونونات $N(v)$ frequency distribution function تتناسب طردياً مع مربع التردد أى مع v^2 وذلك كما يأتي :

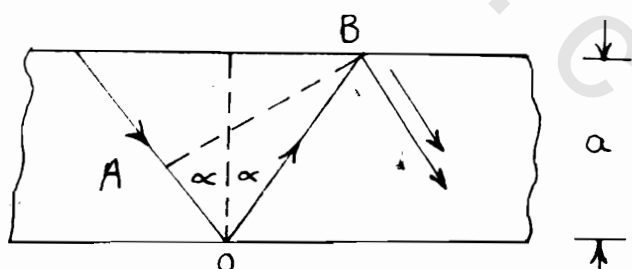
اعتبر كتلة من المادة على شكل متوازي مستطيلات أبعاده هي :

a, b, c

نفرض موجة صوتية (فونون) طول موجتها λ تنتقل في المادة في الاتجاه AO في شكل (٣ - ١٦) تعكس على السطح الحر عند O ثم مرة أخرى عند B .

إذا تطابقت موجة ساقطة مع مثيلتها التي انعكست مرتين وكانا في اتجاه واحد نجد

أنهما يتحركان في نفس الطور إذا كان فرق المسار عدد صحيح من طول الموجة أى أن $OA + OB = n\lambda$



(شكل ٣ - ١٦)

لكن:

$$OB = \frac{a}{\cos \alpha}$$

$$OA = OB \cos 2\alpha$$

$$\therefore OA + OB = a \left(\frac{1 + \cos 2\alpha}{\cos \alpha} \right)$$

$$\therefore n\lambda = 2a \cos \alpha$$

$$\therefore a \cos \alpha = \frac{n\lambda}{2}$$

وبتعظيم هذه النتيجة في اتجاهات الفراغ الثلاثة نحصل على :

$$a \cos \alpha^1 = n_1 \lambda / 2$$

$$b \cos \alpha^2 = n_2 \lambda / 2$$

$$c \cos \alpha^3 = n_3 \lambda / 2$$

حيث $\alpha^1, \alpha^2, \alpha^3$ هي الزوايا التي تصنعنها أحرف متوازى المستويات a, b, c

مع الاتجاه الموجى .

بالتربيع والجمع نحصل على :

$$\frac{1}{\lambda^2} = \frac{n_1^2}{4a^2} + \frac{n_2^2}{4b^2} + \frac{n_3^2}{4c^2}$$

حيث أن مجموع مربعات جيبات تمام الزوايا $\alpha^1, \alpha^2, \alpha^3$ تساوى واحد .

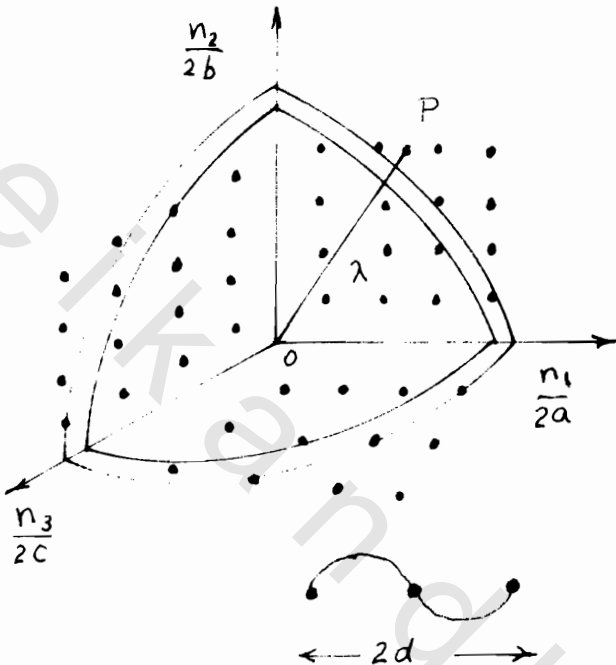
إذا رسمنا فراغ العدد الموجى space - $\frac{1}{\lambda}$ وهو الفراغ الذى تكون إحداثياته

$$\frac{n_1}{2a}, \frac{n_2}{2b}, \frac{n_3}{2c}$$

تمثل أى نقطة فى هذا الفراغ موجه ذات طول موجى معين λ انظر شكل (٤ - ١٦)

ويطلق اسم فونون على مثل هذه الموجة phonon التي يتحدد طولها بالإعداد n_1, n_2, n_3

وهي التي تحدد بعد النقطة P عن مركز الإحداثيات O تكون أبعد نقطة في هذا الفراغ عن المركز O هي التي لها أصغر طول موجي λ_{\min} ويحدد هذا الطول التركيب البلوري وأبعاد وحدة الخلية في المادة.



شكل (٤ - ١٦)

إذا كان d هو البعد بين ذرتين متتاليتين في اتجاه معين تكون أقل طول موجة يمكن لها أن تنتشر في هذا الاتجاه هي : $\lambda_{\min} = 2d$

ويكون بذلك حدود فراغ العدد الموجي $\left(\frac{1}{\lambda_{\min}} - \frac{1}{\lambda} \right)$ في هذا الاتجاه هو space

ويطلق على مثل هذه الحدود في فراغ العدد الموجي بمنطقة بريليون Brillouin zone وتعبر بأنها تلك المنطقة داخل فراغ العدد الموجي التي تحتوى بداخلها على جميع الفوتوныات الطبيعية بداخل البلورة .

علاقة ماديلنج : Madelung relation

إذا فرضنا أن منطقة بريليون عبارة عن كرة مركزها O ونصف قطرها $\frac{1}{\lambda_{\min}}$ يكون

العدد الكلى للفونونات داخل البلورة هو :

$$\frac{1}{8} \cdot \frac{4\pi}{3} \left(\frac{1}{\lambda_m} \right)^3 / \frac{1}{2a} \frac{1}{2b} \frac{1}{2c}$$

حيث حجم الخلية في فراغ $\frac{1}{\lambda}$ يساوى $\frac{1}{2a} \cdot \frac{1}{2b} \cdot \frac{1}{2c}$

وقد ضربينا في $\frac{1}{8}$ لأننا نعتبر فقط الثمن الموجب من فراغ $\frac{1}{\lambda}$ وذلك منعاً للتكرار قيم

λ حيث أن هناك في فراغ $\frac{1}{\lambda}$ ثمانية نقط تمثل نفس الفونون . مثلاً :

$(-n_1, n_2, n_3)$ ، (n_1, n_2, n_3) وهكذا .

وبيما أن حجم البلورة أصلًا هو $a b c$ فإن عدد الفونونات لوحدة الحجوم من البلورة

هو :

$$N = \frac{4\pi}{3} \left(\frac{1}{\lambda_m} \right)^3 / \text{c.c.}$$

$$\therefore \frac{1}{\lambda_m} = \left(\frac{3N}{4\pi} \right)^{1/3}$$

ولكن سرعة الصوت في المادة

$$C_0 = \lambda_{\min} v_{\max} \\ = \sqrt{G/\rho}$$

حيث G هو معامل الصلابة ، ρ هي كثافة المادة وتساوي $N m$ لأن N هو عدد

المهتزات لوحدة الحجوم ، m هي الكتلة الذرية

$$\therefore v_{\max} = \frac{C_0}{\lambda_{\min}} = C_0 \left(\frac{3N}{4\pi} \right)^{1/3}$$

$$= G^{1/2} \rho^{-1/2} \left(\frac{3 \rho}{4 \pi m} \right)^{1/3}$$

$$\therefore v_{\max} = \text{const. } G^{1/2} \rho^{-1/6} m^{-1/3}$$

وتعطى هذه المعادلة قيمة أكبر تردد للفونونات داخل البلورة أو بمعنى آخر حدود طيف الترددات الداخلية .

وقد تمكّن مادلينج من استنتاج هذه العلاقة عمليا قبل أن تتبلور النظرية على الشكل السابق وهذا الاتفاق بين التجربة والنظرية يحقق صحة النظرية .

ويلاحظ أن مادلينج كان يوجد قيم G ، ρ ، m بالطرق المعتادة وكان يحسب v_{\max} عن طريق قياس تغير C_v / T عند درجات الحرارة المنخفضة وكذلك من معاملات المرونة .

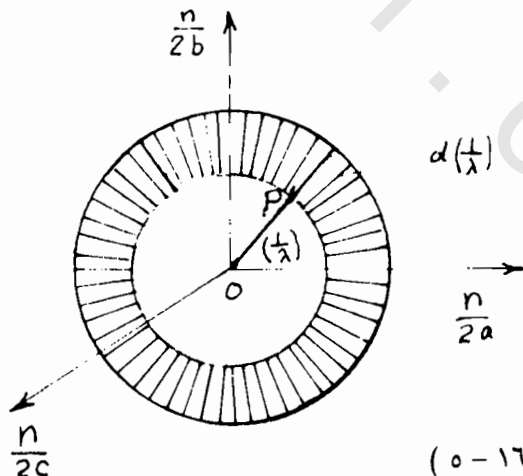
دالة طيف التردد لدببای :

لإيجاد دالة توزيع التردد (v) للفونونات بدلالة التردد v نعتبر قشرة رقيقة في

فراغ $1/\lambda$ مركزها O نصف قطرها d ، وسمكها $\frac{1}{\lambda}$ ، شكل (١٦ - ٥) .

عدد الفونونات داخل القشرة تساوى

$$\frac{1}{8} \cdot 4 \pi \left(\frac{1}{\lambda^2} \right) d \left(\frac{1}{\lambda} \right) / \frac{1}{2a} \cdot \frac{1}{2b} \cdot \frac{1}{2c} = \frac{4}{\lambda^2} d \left(\frac{1}{\lambda} \right) \cdot abc$$



(شكل ١٦ - ٥)

وبالقسمة على حجم البلورة $a b c$ نحصل على عدد الفونونات من هذه القشرة لكل وحدة حجم من البلورة وهذا يساوى :

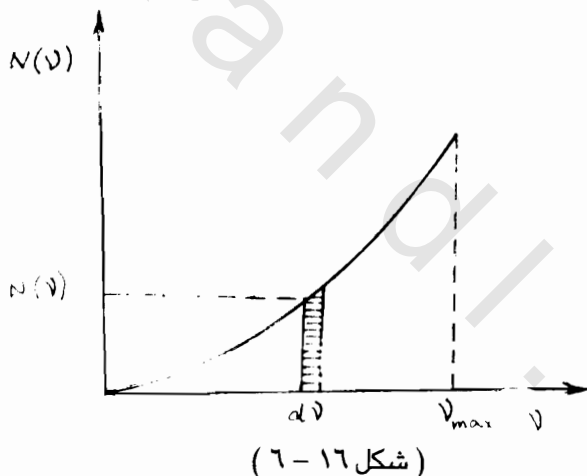
$$\frac{4\pi v^2 dv}{C_0^3} = \frac{4\pi}{\lambda^2} d \left(\frac{1}{\lambda} \right)$$

$$\therefore N(v) dv = \frac{4\pi v^2}{C_0^3} dv$$

« وقد استعملنا هنا المعادلة $v = \lambda$. وتقاضلها لإيجاد $d\lambda$ ، $d\lambda$ » المعادلة السابقة تعطى $N(v) \propto v^2$ أي أنها دالة قطع مكافئ تكون لها حداً لأقصى تردد كما في شكل (٦ - ٦) .

نظريّة ديباي لحساب الحرارة الذريّة : C_v

تنتشر الاهتزازات الميكانيكية داخل أي مادة صلبة على شكل نوعين من الأمواج :



١ - أمواج مستعرضة سرعتها $C_i = \sqrt{\frac{G}{\rho}}$ حيث G هي معامل الصلابة ، ρ

كثافة المادة ويمكن اعتبار الموجة المستعرضة على أنها موجتين مستقطبتين في اتجاهين متتعامدين (مثل الأمواج الكهرومغناطيسية) .

٢ - أمواج طولية سرعتها $C_1 = \sqrt{(B + 4/3 G) / \rho}$ حيث B معامل المرونة الحجمي .

عدد الأمواج ، مستعرضة وطويلة ، والتي لها ترددات تقع بين v ، $v + dv$ هي :

$$N(v) dv = 4\pi v^2 \left(\frac{2}{C_t^3} + \frac{1}{C'_t^3} \right) dv$$

وقد ضربنا $\frac{1}{ct^3}$ في 2 ، حيث أن الموجة المستعرضة تعتبر اثنين مستقطبين .

العدد الكلى للأمواج أو الفونونات في وحدة الحجم من المادة هو :

$$\int 4\pi v^2 \left(\frac{2}{Ct^3} + \frac{1}{C'_t^3} \right) v^2 . dv$$

ولابد أن يساوى هذا العدد N أي يساوى العدد الكلاسيكي لدرجات الحرية ، ومن

الواجب أن يكون حد التكامل الأعلى v_m محدودا إذ أن عدد درجات الحرية أيضا محدودا .

إذا اعتربنا 1 جم جزء تكون N هي عدد أفوجادرو وبإجراء التكامل السابق نحصل

على :

$$v_m^3 = \frac{9N}{4\pi \left(\frac{2}{C_t^3} + \frac{1}{C'_t^3} \right)}$$

وتعطى هذه المعادلة قيمة أقصى تردد v_m في طيف الترددات .

لإيجاد الطاقة الداخلية للجرام جزء من المادة نضرب عدد الفونونات في الطاقة

الكمية quantized energy للمهتز التواافق

$$\therefore U = 4\pi \left(\frac{2}{Ct^3} + \frac{1}{C'_t^3} \right) \int_0^{v_m} \frac{h v^3 dv}{(e^{hv/kT} - 1)}$$

$$= \frac{9N}{v_m^3} \int_0^{v_m} \frac{h v^3 dv}{(e^{hv/kT} - 1)}$$

وبمماضلة الطاقة الداخلية U بالنسبة لدرجة الحرارة T نحصل على الحرارة الذرية C_v

$$C_v = \frac{9 N}{v^3} \int_0^{v_m} \frac{\frac{h^2 v^4}{k T^2} \cdot e^{hv/kT} \cdot dv}{(e^{hv/kT} - 1)^2}$$

$$d\zeta = \frac{h d v}{k T} \quad \text{نحصل على} \quad x = \frac{hv_m}{kT}, \quad \zeta = \frac{hv}{kT} \quad \text{ويوضع}$$

$$\therefore C_v = \frac{9 N k}{x^3} \int_0^x \frac{\zeta^4 e^\zeta d\zeta}{(e^\zeta - 1)^2}$$

وبإجراء التكامل بالتجزئة

مع وضع $R = N k$ حيث R هو ثابت الغاز للجرام الجزيئي

$$\begin{aligned} \therefore C_v &= - \frac{9 R}{x^3} \int_0^x \zeta^4 d \left(\frac{1}{e^\zeta - 1} \right) \\ &= \frac{9 N}{x^3} \left(\int \frac{1}{e^\zeta - 1} d \zeta^4 - \left| \frac{\zeta^4}{e^\zeta - 1} \right|_0^x \right) \\ &= \frac{9 R}{x^3} \left(\int_0^x \frac{4 \zeta^3 d\zeta}{(e^\zeta - 1)} - \frac{x^4}{e^x - 1} \right) \\ &= 3 R \left(\frac{12}{x^3} \int \frac{\zeta^3 d\zeta}{e^\zeta - 1} - \frac{3x}{e^x - 1} \right) \\ &= 3 R D(x) \\ &= 3 R D \left(\frac{\theta}{T} \right) \end{aligned}$$

حيث $D(x)$ هي دالة ديباي.

وباعتبار حالات الحدود نجد أن عند درجات الحرارة المرتفعة تكون قيم كل من x ، ζ صغيرة جداً، وتحل قيمة دالة ديباي عندئذ إلى الواحد الصحيح.

وهذا يعني أن $R = 3 C_v$ عند الدرجات المرتفعة أى أن النظرية الكلاسيكية تنطبق

مع نظرية ديباي عند الدرجات المرتفعة .

أما عند درجات الحرارة المنخفضة تكون قيم x ، ζ كبيرة جدا وتحول قيمة دالة ديباي إلى الصفر .

حيث أن تغير المقام في الدالة يكون بازدياد أكبر كثير من البسط لأنه يتبع لدالة أسيّة.

قانون ديباي T^3 عند الدرجات المنخفضة :

يمكن تقرير معادلة الحرارة الذرية لديباي عند الدرجات المنخفضة كما يأتي :

١ - نهمل الحد الثاني في دالة ديباي إذ أن x تؤول إلى مالا نهاية عند الدرجات المنخفضة جدا (عند الصفر المطلق) ويتحول الكسر .

$$\lim_{x \rightarrow \infty} \int_0^x \frac{\zeta^3 d\zeta}{e^\zeta - 1} = \left(\frac{3x}{e^x - 1} \right)$$

٢ - يمكن إثبات رياضيا أن :

$$\lim_{x \rightarrow \infty} \int_0^x \frac{\zeta^3 d\zeta}{e^\zeta - 1} = \frac{\pi^4}{15}$$

وبالتعميض في معادلة ديباي نحصل على الحرارة الذرية عند الدرجات المنخفضة .

$$C_v = 3R \left(\frac{12}{x^3} \cdot \frac{\pi^4}{15} \right)$$

و بما أن $x = \frac{\theta}{T}$ حيث θ هي درجة حرارة ديباي المميزة .

$$\therefore C_v = \frac{12}{5} \pi^4 R \left(\frac{T}{\theta} \right)^3$$

$$\therefore C_v = \frac{12 \pi^4 R T^3}{5 \theta^3}$$

أى أن الحرارة الذرية تتناسب مع مكعب درجة الحرارة المطلقة (T صغيرة) وتساوي

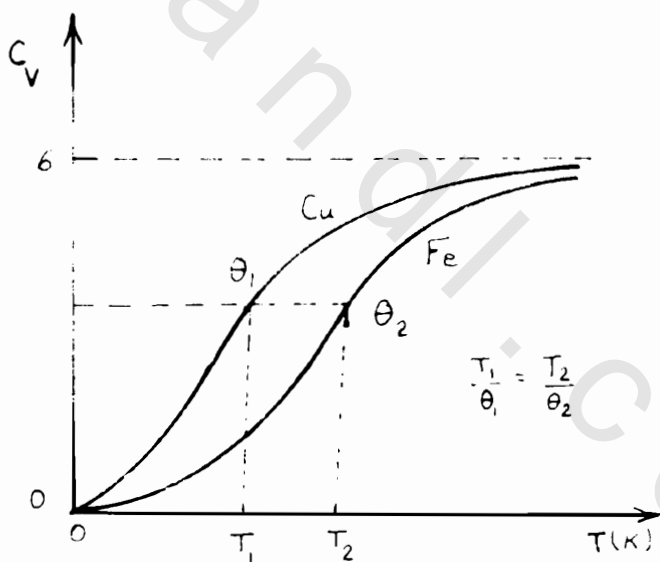
$$\text{درجة حرارة ديباي} = \frac{h\nu_m}{k} \theta \quad \text{وهي تتوقف على المادة .}$$

وقد وجد أن التقريب السابق يكون صحيحاً في حدود ١٪ عندما تكون $x > 12$

$$\text{عندما تكون درجة الحرارة } T \text{ أقل من } \frac{\theta}{12} \text{ من درجة ديباي المميزة .}$$

نقد نظرية ديباي :

- ١ - وجد بحساب دالة ديباي عند درجات الحرارة المختلفة أن هناك تطابقاً بين النتائج النظرية والنتائج التجريبية لعدد كبير من المواد البسيطة وهذا يدعم صحة النظرية .
- ٢ - بمعرفة درجات الحرارة المميزة لديباي لمواد مختلفة يمكن استنتاج منحنى لأى مادة دون قياس وذلك بمعرفة هذا المنحنى لأى مادة أخرى يسهل القياس عليها C_v / T شكل (٧ - ١٦) . إذ أن درجتي الحرارة T_1 و T_2 التي تتساوى عندما ترتبط الذرية C_v لمادتين مختلفتين ترتبط



شكل (٧ - ١٦)

بدرجات ديباي المميزة لهما θ_1 : θ_2 بالمعادلة

$$\frac{T_1}{\theta_1} = \frac{T_2}{\theta_2}$$

- ٣ - من أخطاء النظرية أنها تفترض وجود نوع واحد من اختران الطاقة داخل المادة على شكل طاقة حركة تذبذبية للذرات المكونة لها ، ولكن تحدث حالات شاذة وانحراف عن صحة النظرية عند ادخال الطرق الأخرى الممكنة التي تخزن بواسطتها الطاقة مثل :
- أ - يمكن أن يكون لجزيئات المادة درجة حرية دورانية .

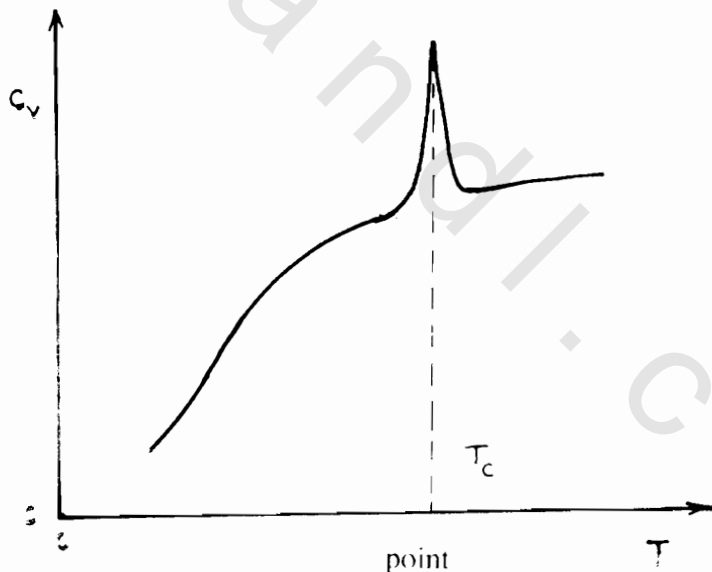
Rotational degree of freedom .

ب - يمكن للطاقة أن تخزن في حركة الإلكترونات .

ج - تتغير الطاقة عند حدوث تحول داخل المادة وتظهر حينئذ .

phase transformation .

ما يسمى ب نقطة λ (λ - point) على منحنى C_v / T . شكل (١٦ - ٨) .



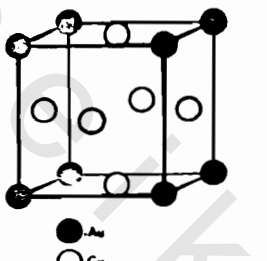
شكل (١٦ - ٨)

ومثال آخر : في حالة بعض السبياٹك مثل Cu_3Au ، CuAu ، اللذى قد يحدث لاراتها ترتيب يعقبه عدم ترتيب order-disorder هنا أيضا يلزم مقدار من الطاقة لتحول

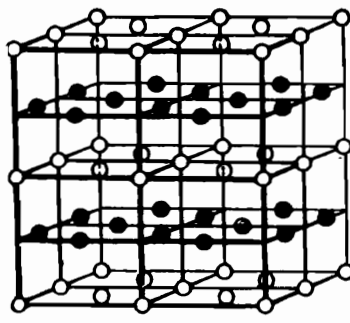
الشبيكة من الحالة المرتبة الى الحالة الغير مرتبة .

وشكل (٩ - ٦) يبين ترتيب الذرات في الشبيكين في الحالة المنتظمة ordered .
نفرض مثلاً أن هناك طورين من أطوار المادة A & B حيث يكون A أكثر استقرارا
عند درجات الحرارة الأقل من T_c بينما يكون B مستقراً أعلى من T_c

SUPERLATTICE STRUCTURES IN ALLOYS



[Courtesy The Institute of Metals]
The Cu₃Au structure



[Courtesy The Institute of Metals]
The CuAu superlattice structure

شكل (٩ - ٦)

لتوضيح ذلك نفرض بلورة حرارتها النزية C سخنت تحت ضغط فارتفعت درجة حرارتها بمقدار T . من قوانين الديناميكا الحرارية
Free energy dF التغير في الطاقة الحرة

$$\begin{aligned} dF &= d(U - TS) \\ &= dU - TdS - SdT \\ &= p dV - SdT \end{aligned}$$

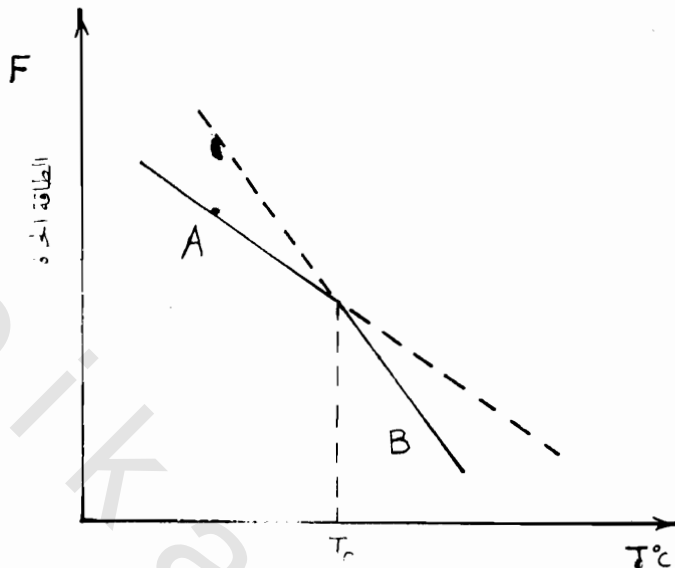
التغير في الحجم dV في حالة الأجسام الصلبة يكون عادة صغيراً ولذلك يمكن إهمال $p dV$.

$$\therefore dF = -SdT$$

إذا كانت قيمة الطاقة الحرية عند درجة الصفر المطلق هي F_0 والطاقة الداخلية هي

E_0 فإن تكامل المعادلة السابقة يعطى :

$$F = E_0 - \int_0^T \left(\int_0^T \frac{C dT}{T} \right) dT$$



شكل (١٠ - ١٦)

وقد عوضنا هنا بدلًا من S بالمقدار $\frac{cdT}{T}$ والمعادلة السابقة تبين حدوث

نقص في الطاقة الحرية عند رفع درجة الحرارة ويكون النقص كبيراً كلما زادت قيمة الحرارة الذرية C_p ، شكل (١٠ - ١٦) .

وتبعاً لقاعدة أقل طاقة حرية Minimum free energy condition «الوضع المستقر

هو الذي يكون فيه الطاقة الحرية أقل ما يمكن » لذلك نجد أنه عندما نرتفع بدرجة الحرارة

T_c يصبح طور المادة B هو الأكثر استقراراً فتحوّل إليه جميع المادة من الطور A

ويصاحبه هذا التحول امتصاص كمية من الطاقة هي التي تظهر على منحنى C_v / T على

شكل λ - point .

اهتزاز الشبكة وامتصاص البلورات للضوء

Lattice Vibrations and optical absorption of crystals .

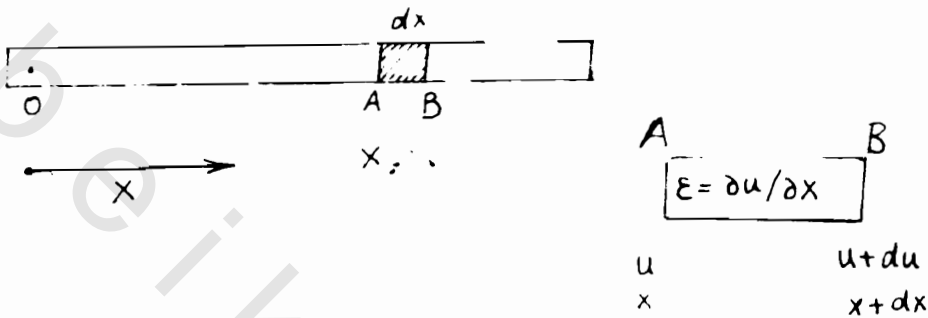
قبل معالجة اهتزاز الشبكة نبدأ أولاً بدراسة :

معادلة انتشار الأمواج في قضيب من :

اعتبر بلورة على شكل قضيب من متجانس ونفرض انتشار موجة في اتجاه طوله

(نعتبر هنا فقط الحالة الخطية) شكل (١٦ - ١١) .

نفرض ρ هي الكثافة الطولية للقضيب ، G هي معامل الصلابة



نفرض جزءاً صغير dx من القضيب يبعد مسافة x من مركز الإحداثيات الواقع في

نقطة ما على القضيب ، وأن الإزاحة عن وضع الاتزان عند مرور الموجة الميكانيكية هي u

نفرض إزاحة الطرف A هي u وإزاحة الطرف B هي $u + du$

التغير في طول الجزء dx هو :

$$\epsilon = \frac{du}{dx} \quad \therefore \text{الانفعال الطولي الناشئ عن مرور الموجة هو :}$$

القوة المؤثرة والتي تسبب هذا الانفعال هي ϵ . $F = G \epsilon$ اعتبار الأن نقطتين على القضيب

البعد بينهما Δx فيكون الانفعال عند الأولى $(x) \epsilon$ وعند الثانية $(x + \Delta x) \epsilon$ وهذا

يساوي

$$\epsilon(x) + \frac{\partial \epsilon}{\partial x} \Delta x$$

\therefore القوة المؤثرة على Δx هي :

$$G [\epsilon(x + \Delta x) - \epsilon(x)] = G \frac{\partial \epsilon}{\partial x} \Delta x$$

$$= G \cdot \frac{\partial^2 u}{\partial x^2} \Delta x$$

\therefore كثافة الجزء Δx تساوى

و碧وضع القوة = الكثافة x العجلة تكون معادلة الحركة الموجية فى القصيب هي :

$$G \cdot \frac{\partial^2 u}{\partial x^2} \cdot \Delta x = \rho \cdot \Delta x \cdot \frac{\partial^2 u}{\partial t^2}$$

$$\therefore \frac{\partial^2 u}{\partial t^2} = \frac{G}{\rho} \frac{\partial^2 u}{\partial x^2} = C^2 \frac{\partial^2 u}{\partial x^2}$$

حيث سرعة الأمواج C تعطى بالمعادلة

حل المعادلة السابقة يكون على الصورة :

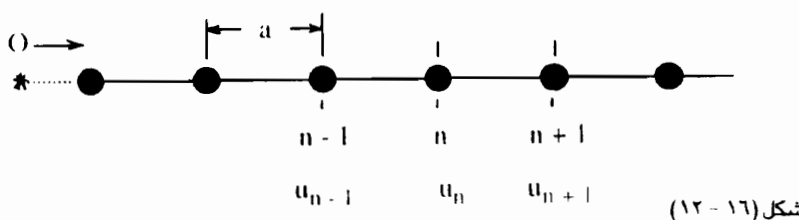
$$u = \eta e^{i(\omega t \pm kx)}$$

حيث η سعة الحركة ،

$$\text{وهو المتجه الموجي} \quad k = \frac{2\pi}{\lambda}, \quad \omega = k \cdot c$$

الحركة الموجية على شبكة خطية أحادية الذرة : mono atomic

اعتبر شبكة خطية مكونة من سلسلة من الذرات المسافة بين كل اثنين متقاربين هي a وأن كثافة كل ذرة هي M شكل ١٦ - ١٢ نأخذ نقطة ما على الشبكة كمركز إحداثيات ونرقم الذرات ترتيباً متسلسلاً $\dots, n, 2, 3, \dots, n+1$ ثم نعتبر حركة الذرات أثناء انتشار الموجة .



نفرض أن u_n هي : إزاحة الذرة ذات الرقم n

u_{n+1} هي : إزاحة الذرة $n+1$

u_{n-1} هي : إزاحة الذرة $n-1$ عن وضع الاتزان

الزيادة في طول الرابطة Bond length بين الذرتين $n+1, n$ هو :

$$(u_{n+1} - u_n)$$

وباعتبار تأثير الجيران القريبة فقط من الذرة n تكون القوة F_n المؤثرة عليها هي :

$$F_n = \beta [(u_{n+1} - u_n) - (u_n - u_{n-1})]$$

حيث β هو ثابت القوة أو القوة لوحدة الاستطالة .

وبمقارنة هذه الحالة بالحالة الماكروسโคبية لقضيب نجد أن :

أولاً : الكثافة الطولية $\rho = \frac{M}{a}$ حيث a المسافة بين الذرتين المتتاليتين . وقد حصلنا

على هذه العلاقة باعتبار طول 1 سم من الشبيكة فيه عدد $\frac{1}{a}$ ذرات كتلة كل منها هي M

فيكون كتلة وحدة الأطوال ρ هي : $\frac{M}{a}$.

ثانياً : القوة اللازمة لكي تستطيل الرابطة هي :

$$F = \beta (u_n - u_{n-1}) = \beta \cdot \epsilon \cdot a$$

وذلك باعتبار أن الانفعال ϵ هو التغير النسبي في طول الرابطة :

$$\epsilon = \frac{u_n - u_{n-1}}{a} = \frac{\Delta x}{a}$$

$$\therefore \frac{F}{\epsilon} = \beta \cdot a = G$$

ثالثاً : تصبح معادلة الحركة هي :

$$M \ddot{u} = \beta (u_{n+1} + u_{n-1} - 2u_n)$$

حل المعادلة السابقة يكون على الصورة :

$$u_n = \zeta e^{i(\omega t + kna)}$$

وقد استبدلنا الإحداثي x للذرة n بالمقدار a . في المعادلة الموجية في القصبي المرن .

وبمفاضلة المعادلة السابقة مرتين بالنسبة للزمن وبالتعويض في معادلة الحركة التفاضلية نحصل على :

$$u_n = i \omega u_n \quad u_n = -\omega^2 u_n \\ \therefore -M \omega^2 u_n = \beta [u_n e^{ika} + u_n e^{-ika} - 2u_n]$$

ويكون حل المعادلة صحيحاً فقط عندما تكون المعادلة السابقة صحيحة أي عندما يكون :

$$-\omega^2 M = \beta (e^{ika} + e^{-ika} - 2) \\ = \beta (\cos ka + i \sin ka + \cos ka - i \sin ka - 2) \\ = \beta (2 \cos ka - 2) \\ = 4 \beta \left(\frac{\cos ka - 1}{2} \right) \\ = -4 \beta \sin^2 \frac{ka}{2}$$

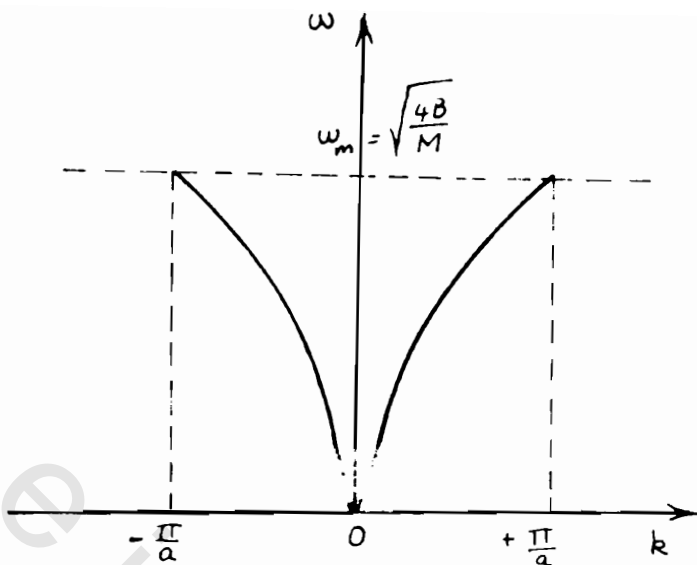
$$\therefore \omega^2 = \frac{4\pi}{M} \sin^2 \frac{ka}{2}$$

$$\therefore \omega = \pm \left(\frac{4\beta}{M} \right)^{1/2} \sin \frac{ka}{2}$$

وتسمى هذه العلاقة Dispersion relation علاقة التشتيت . وعند رسم بيانياً ω بدلالة ka نحصل على منحنى ذي فرعين أحدهما موجب والآخر سالباً كما في شكل ١٦-١٣ . ويلاحظ أن هناك حداً أقصى للترددات الموجية التي يمكن لها أن تنتشر على هذه الشبكة وهذه تحصل عليها بوضع القيمة القصوى $-L/2$ $\sin ka$ وهي الواحد الصحيح .

\therefore معادلة أكبر تردد هي :

$$\omega_m = \left(\frac{4\pi}{M} \right)^{1/2}$$



شكل (١٦ - ١٢)

وهذه تناظر أكبر متوجه موجى

$$k_m = \pm \frac{\pi}{a}$$

ونستنتج من ذلك ما يأتي :

أولاً : بالنسبة للأمواج ذات الأطوال الكبيرة (k تكون صفرة) يمكن اعتبار الجيب

مساوياً للزاوية أي أن :

$$\sin \frac{ka}{2} = \frac{ka}{2}$$

وتصبح السرعة الزاوية :

$$\omega = \left(\frac{\beta}{M} \right)^{1/2} \cdot ka$$

لـ $\therefore \rho = M/a$ وكذلك $\beta = G/a$ بالتعويض

$$\omega^2 = \frac{G}{Ma} k^2 a^2 = \frac{G}{a^2 \rho} k^2 a^2$$

$$\therefore \omega = \sqrt{\frac{G}{\rho}} \cdot k = c \cdot k$$

حيث c هي السرعة الموجية على قضيب من مكافئ.

ثانياً : تعطى علاقة التشتت نهاية قصوى للتردد عندما يكون $k_m = \frac{\pi}{a}$ حيث يكون الجيب مساوياً واحداً .

$$k_m = \frac{2\pi}{\lambda_{\min}} = \frac{\pi}{a} \quad \text{أى أن أقصر طول موجة هو :}$$

$$\therefore \lambda_{\min} = 2a$$

واوضح أن أطوال الموجات الأقل من هذا لا تستطيع الانتشار في هذه الشبكة .

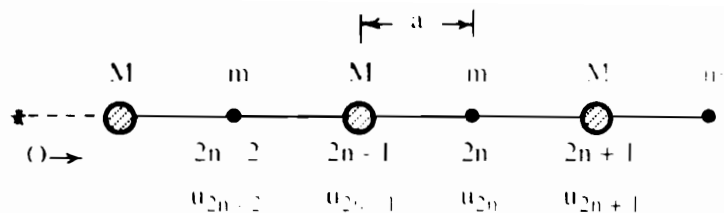
وبالنسبة للمواد المعتادة يكون $10^8 \text{ cm} \equiv \frac{\pi}{a} = k_m$ ولكن سرعة الصوت تساوى تقريباً $3 \times 10^5 \text{ سم / ثانية}$ لذلك تكون قيمة أكبر تردد هي :

$$f_{\max} = 3 \times 10^{12} \text{ c/s}$$

ويقع هذا التردد في منطقة ترددات الأشعة تحت الحمراء ، ولكن هذه الموجات هي موجات ميكانيكية وليس كهرومغناطيسية لذلك فمن الصعب جداً إثارة الشبكة لكي تهتز بهذه الترددات المرتفعة ، لأن أكبر تردد للمهتز الميكانيكي هو $10^9 \text{ ذبذبة / ثانية}$ ، وقد أمكن الحصول عليه بواسطة بلورات من الكوارتز .

ذبذبة الشبكة الخطية ثنائية الذرة

اعتبر شبكة خطية ثنائية الذرة diatomic linear lattice (مثال ذلك بلورات كلوريد الصوديوم NaCl) نفرض أن كتلة نوعي الذرات المكونة للشبكة هي M_m وأن المسافات بين الذرات هي a نفرض مركز إحداثيات ثابت على الشبكة ونجري ترقيم الذرات . تكون الذرات من نوع m موجودة في الموضع الزوجي مثلاً :



شكل (١٤ - ١٦)

$0, 2, 4, \dots, 2n, (2n+2), (2n+4), \dots$

بينما الذرات من نوع M تكون في الموضع الفردية :

$1, 3, 5, \dots, (2n-1), (2n-3), \dots$

انظر شكل (١٤ - ١٦)

نعتبر فقط التأثير البيني بين أقرب جيران ونهمل غير ذلك .

معادلة الحركة الموجية للذرات (أو الأيونات) من نوع m هي :

$$m \frac{d^2 u_{2n}}{dt^2} = \beta (u_{2n+1} + u_{2n-1} - 2u_n)$$

وبالمثل بالنسبة للأيونات من النوع M معادلة الحركة هي :

$$M \frac{d^2 u_{2n+1}}{dt^2} = (u_{2n+2} + u_{2n} - 2u_{2n+1})$$

وحل المعادلين السابقتين يكون على الصورة :

$$u_{2n} = \zeta e^{i(\omega t + 2nka)}$$

سعة الحركة للذرة m هي : ζ

$$u_{2n+1} = \eta e^{i(\omega t + (2n+1)ka)}$$

سعة الحركة للذرة M هي : η

ولإيجاد شرط أن تكون الحلول السابقة صحيحة نفاضل الحلين ونوجد

$u_{2n}, u_{2n+1}, u_{2n+2}$ وبالتعويض في المعادلات التفاضلية للحركة نحصل

على المعادلتين التاليتين :

$$-\omega^2 m \zeta = \beta \eta (e^{ika} + e^{-ika}) - 2\beta \zeta$$

$$-\omega^2 M \eta = \beta \zeta (e^{ika} + e^{-ika}) - 2\beta \eta$$

يكون للمعادلتين السابقتين حلولاً حقيقة إذا تلاشى المحدد من معاملات ζ ، η أي أن:

$$(2\beta - \omega^2 m) \zeta - (2\beta \cos ka) \eta = 0$$

$$(-2\beta \cos ka) \zeta + (2\beta - M\omega^2) \eta = 0$$

$$\therefore \begin{vmatrix} 2\beta - \omega^2 m & 2\beta \cos ka \\ -2\beta \cos ka & 2b - M\omega^2 \end{vmatrix} = 0$$

ويفك المحدد نحصل على :

$$\omega^2 = \beta \left(\frac{1}{m} + \frac{1}{M} \right) \pm \beta \left[\left(\frac{1}{m} + \frac{1}{M} \right)^2 - \frac{4 \sin^2 ka}{Mm} \right]^{1/2}$$

وتسمى المعادلة السابقة بعلاقة التشتت dispersion relation وقبل رسم العلاقة بين

ω ، k نجد أولاً حالات الحدود عندما تكون k صغيرة جداً أو كبيرة .

أولاً : عند قيم k الصغيرة جداً التي تؤول إلى الصفر .

(أ) نعتبر الجزء الموجب من علاقة التشتت ونضع قيمة دالة الجيب تساوى صفرًا

فنحصل على :

$$\omega_0^2 = 2\beta \left(\frac{1}{m} + \frac{1}{M} \right)$$

(ب) عند اعتبار الجزء السالب في العلاقة لا نضع الجيب مساوياً للصفر حتى لا

نحصل على قيمة صفرية لـ ω ولذلك نعتبر $\sin ka = ka$ فنحصل على :

$$\omega_0^2 = \frac{2\beta}{M+m} \cdot k^2 a^2$$

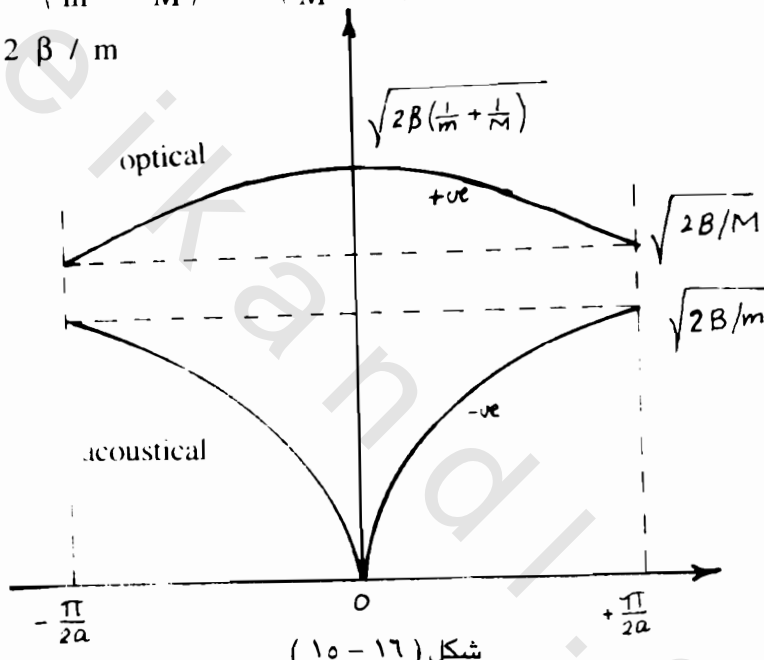
ثانياً : لقيم k الكبيرة (وأقصى قيمة لها هي)

أ - نعتبر الجزء الموجب من العلاقة ونضع قيمة الجيب مساوية للواحد الصحيح .

$$\begin{aligned}
 \therefore \omega_m^2 &= \beta \left(\frac{1}{m} + \frac{1}{M} \right) + \beta \left[\left(\frac{1}{m} \right)^2 + \left(\frac{1}{M} \right)^2 + \frac{2}{mM} - \frac{4}{mM} \right]^{1/2} \\
 &= \beta \left(\frac{1}{M} - \frac{1}{m} \right) + \beta \left(\frac{1}{m} + \frac{1}{M} \right) \\
 &= 2\beta / M
 \end{aligned}$$

ب - وعند اعتبار الجزء السالب نحصل على :

$$\begin{aligned}
 \omega_m^2 &= \beta \left(\frac{1}{m} + \frac{1}{M} \right) - \beta \left(\frac{1}{M} - \frac{1}{m} \right) \\
 &= 2\beta / m
 \end{aligned}$$



شكل (١٥ - ١٦)

ويرسم العلاقة بين k & ω نحصل على منحنى ذى فرعين شكل (١٥ - ١٦) يسمىان

عادة :

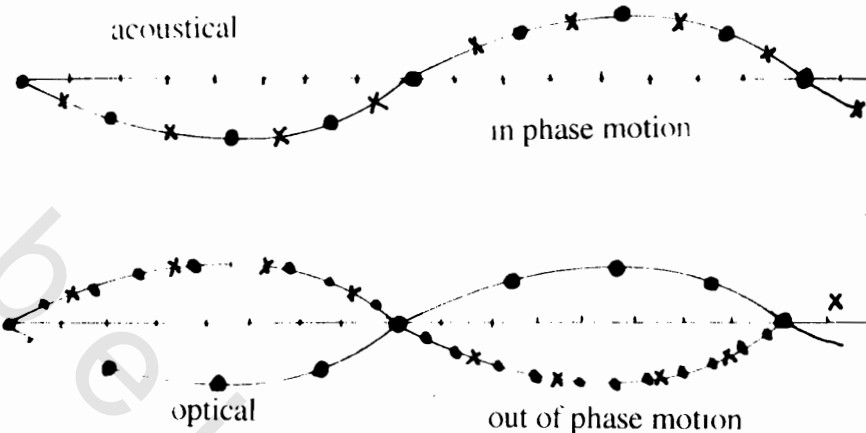
الفرع الصوتي : acoustical branch

والفرع الضوئي . optical branch .

ويمكن لنا فهم طبيعة هذين الفرعين إذا اعتربنا حركة الذرات المختلفة في الشبكة .

تتحرك الذرات فى الفرع الصوتي بنفس الطور أى أن الموجة تعتبر موجة طولية

ولهذا سميت صوتية وتكون حركة الذرات كلها في طور واحد in phase في شكل (١٦ - ١٦).



شكل (١٦ - ١٦)

أما بالنسبة لفرع الضوئي نجد أن الذرات تتحرك بحيث تكون عكسية في الطور anti-phase.

وهذا النوع من الأمواج مستعرض ويشبه الأمواج الكهرومغناطيسية ولذا سمي هذا الفرع بالضوئي .

وإظهار تلك الحركات الذرية نجد النسبة بين سعى الحركة للذرتين M, m ، أي يوجد النسبة بين (η, ζ) من معادلتي المحدد .

$$\therefore \frac{\zeta}{\eta} = \frac{2\beta \cos ka}{2\beta - \omega^2 m}$$

وتحتصر هذه المعادلة لقيم الصغيرة k إلى :

$$\frac{\zeta}{\eta} = \frac{2\beta}{2\beta - \omega^2 m}$$

وباعتبار الفرع الضوئي حيث :

$$\omega_0^2 = 2\beta \left(\frac{1}{m} + \frac{1}{M} \right)$$

وبالتعويض نحصل على :

$$\frac{\zeta}{\eta} = \frac{2\beta}{2\beta - 2\beta m \left(\frac{1}{m} + \frac{1}{M} \right)}$$

$$= -\frac{M}{m}$$

الإشارة السالبة هنا تعنى فيزيائياً أى حركة الذرات M تكون في عكس طور الذرات
anti-phase motion . m

و باعتبار الفرع الصوتي حيث $0 \rightarrow \omega_0$ يكون :

$$\frac{\zeta}{\eta} = \frac{2\beta}{2\beta - 0} = 1$$

وهذا يدل على أن حركة الذرات جميعها في نفس الطور .

: امتصاص البلورات للأشعة تحت الحمراء I R absorption
أمكن التحقق عملياً من صحة النظرية البسيطة السابقة عن اهتزاز الشبكة ، وذلك
باعتبار تأثير شبكة خطية ثنائية الذرة عند تشعيعها بأمواج كهرومغناطيسية في منطقة
الأشعة تحت الحمراء ، شدتها :

$$E = E_0 e^{i\omega t}$$

التردد ω لهذه الأشعة في منطقة حول 2×10^{12} نبذة في الثانية وطول موجتها
حوالى 100 ميكرون وهذا يعطى متوجه موجى

$$k = \frac{2\pi}{\lambda} \approx 600 / \text{cm}$$

وهذه القيم لـ k صغيرة جداً عند مقارنتها بقيمة أكبر متوجه موجى لاهتزاز الشبكة .

$$k_m = \frac{\pi}{2a} = 10^6 / \text{cm} \quad \text{تقريباً}$$

ولذلك عند تشعيع الشبكة بأمواج تحت الحمراء نعتبر علاقة التشتت عندما يؤهل

متجه الموجة إلى الصفر . dispersion relation .

يجب في هذه الحالة تعديل معادلات الحركة للذرات وحلولها بحيث تتضمن حدا جديدا هو $E_0 \pm e$ يعبر عن القوة التي يؤثر بها المجال الكهرومغناطيسي للأشعة تحت الحمراء على أيونات الشبكة الموجبة والسلبية .

إذا كانت سعة شدة المجال الكهربى E_0

Amplitude of the electric intensity

وكان الشحنات على الأيونات المتتجاوزة هي $e \pm$ فإن القوة المؤثرة عليها هي

$$\pm e \cdot E_0$$

ويصبح حال المعادلتين الموجيتين للأيونين M, m هما

$$-\omega^2 m \zeta = \beta \eta (e^{ika} + e^{-ika}) - 2\beta \zeta - e E_0$$

$$-\omega_0^2 M \eta = \beta \zeta (e^{ika} + e^{-ika}) - 2\beta \eta + e E_0$$

وعندما تكون k صغيرة تصبح المعادلتين

$$-\omega^2 m \zeta = 2\beta (-\zeta + \eta) - e E_0$$

$$-\omega^2 M \eta = 2\beta (\zeta - \eta) + e E_0$$

وبحل المعادلتين لإيجاد η, ζ نجد أن :

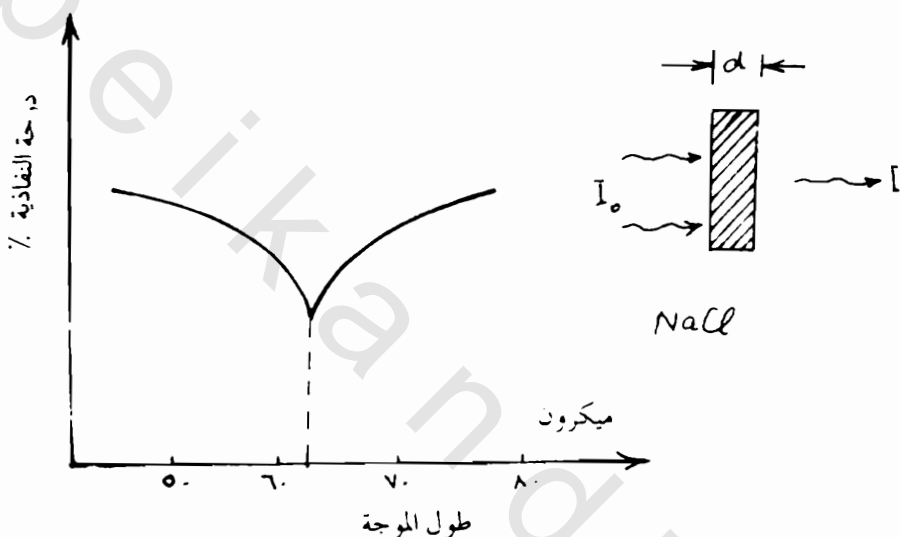
$$\eta = \frac{e E_0 / M}{\omega_0^2 - \omega^2} ; \quad \zeta = \frac{-e E_0 / M}{\omega_0^2 - \omega^2}$$

$$\omega_0^2 = 2\beta \left(\frac{1}{m} + \frac{1}{M} \right). \quad \text{حيث}$$

وهي القيمة التي تناظر $k=0$ عند حدود الفرع الضوئي optical branch من المعادلتين السابقتين يتضح حدوث أكبر سعة حركة للذرات عندما تقترب ω_0 من ω وتمتص طاقة الحركة اللازمة للذرات عندئذ من طاقة الأشعة الساقطة ، وكلما ازدادت سعة الحركة كلما ازدادت درجة الامتصاص الداخلي للطاقة المستخدمة في إثارة ذبذبات الشبكة .

تطبيق على شبكة كلوريد الصوديوم :

عند تشعيع بلورة من كلوريد الصوديوم بأمواج تحت الحمراء وجد حدوث أكبر امتصاص أى أقل نفاذية عندما كانت أطوال الموجات الساقطة 61.1 ميكرون . شكل (١٧-١٦) كما لوحظ أيضاً حدوث أكبر انعكاس للأشعة على سطح البلورة وهو ما يسمى Selective reflection عند طول موجة قريب من هذا (حوالي 52 ميكرون)



شكل (١٧-١٦)

ولكي نتمكن من مقارنة النظرية بالتجربة تعتبر معامل الصلابة C_{11} لبلورة كلوريد الصوديوم ويساوي 5×10^{11} داين / سم² في (3 - D) ثابت القوة ρ للشبكة الخطية (1 - D) يساوى G/a حيث a هو البعد بين الذرات المتجاوقة G هو معامل الصلابة الخطى . باعتبار البلورات الحقيقة يمكن اعتبار أن هناك

عدد $\frac{1}{a^2}$ شبكة خطية في كل وحدة مساحات (انظر شكل ١٨ - ١٦)

يكون ثابت القوة $\beta_{3-D} = a \cdot C_{11}$

وحدة المساحة



شكل (١٦ - ١٨)

$$\beta_{3-D} = \frac{C_{11}}{a} / \frac{1}{\alpha^2} = a \cdot C_{11}$$

$$C_{11} = 5 \times 10^{11} \text{ dyn/cm}^2$$

بوضع $a = 3 \times 10^{-8} \text{ cm}$ لكlorيد الصوديوم يكون ثابت القوة

$$\beta = 1.5 \times 10^4 \text{ dyn/cm}$$

ومن النظرية السابقة

$$\omega_0^2 = 2 \beta \left(\frac{1}{m} + \frac{1}{M} \right)$$

حيث m كتلة ذرة الصوديوم وتساوي 23 وحدة كتلة ذرية

M كتلة ذرة الكلور وتساوي 35.5 وحدة كتلة ذرية ويعرف أن وحدة الكتلة الذرية

$$1.67 \times 10^{-24} \text{ جم}$$

$$\omega_0^2 = 2 \times 1.5 \times 10^4 \times \left(\frac{1}{35.5} + \frac{1}{23} \right) \times \frac{1}{1.67 \times 10^{-24}}$$

$$\therefore \omega = 3.6 \times 10^{13} \text{ rad/sec.}$$

لكن باعتبار التردد f_0 تكون

$$\omega_0 = 2\pi f_0$$

أيضاً :

$$c = 3 \times 10^{10} \text{ cm/s}$$

$$\therefore \lambda_0 = \frac{c}{f_0} = \frac{c}{\omega_0 / 2\pi} = 50 \text{ } \mu$$

أى أن طول الموجة الذى يحدث عند أكبر سعة حركة للذرات ، وبالتالي أكبر امتصاص لطاقة الأشعة هو 50 ميكرون بينما القيمة المناظرة لذلك مقاسة فى المعلم هو 61.1 ميكرون . وتعتبر هذه النتيجة العملية محققة للنظرية .

و عموماً يكون لكل البلورات الأيونية التي يمكن تطبيق عليها نظرية الشبكة ثنائية الذرة ، يكون لها امتصاص مميز في منطقة الأشعة تحت الحمراء . characteristic absorption

مسائل علي الباب السادس عشر

- ١ - تمتص بلورة من كلوريد الصوديوم الأشعة تحت الحمراء امتصاصا شاذا عند طول الموجة $\lambda = 50$. احسب البعد الشبكي للبلورة ؟
- الوزن الذري للكلور 35.5 وللصوديوم 23
- معامل صلابة كلوريد الصوديوم $10^{11} \times 5$ داين / س 2 .

- ٢ - شبكة خطية أحادية الذرة بعدها الشبكي $A = 5$. إذا كانت سرعة انتشار الأمواج فيها 10^5 cm/s . أوجد أكبر تردد لها ؟

- ٣ - يبين الجدول التالي السعة الحرارية الجزئية C لشبكة من 10% فانديوم 90% كروم بالقرب من درجة الصفر المطلق

T K	1.45	1.5	1.618	1.824	2.106	2.994	3.236	3.637	3.848	4.073	°K
C	7.57	7.94	9.67	9.67	11.2	16.5	18	20.6	22	23.6	cal/g mole K

- ارسم العلاقة بين (C/T) ، بدلالة (T^2) ، وأثبت أن القراءات تحقق العلاقة
- $$C = \gamma T + \infty T^3$$
- ثم أوجد الثوابت (γ, ∞) وما يمكن استنتاجه منها من ثوابت طبيعية .

- ٤ - أوجد قيمة تقريرية للتتردد الذري في النحاس إذا علم أن معامل يونج لمرونة النحاس 25 N.m^2 والوزن الذري له 63.5 .

- ٥ - اشرح مستعينا بمبادئ الديناميكا الحرارية لماذا تتحول المادة الصلبة من طور إلى آخر عند رفع درجة الحرارة ؟ ثم عرف نقطة λ - point .

٦ - احسب السعة الحرارية للغاز الإلكتروني في النحاس عند درجة حرارة الغرفة .

اعتبر الكترونا واحداً حراً في كل ذرة ، ثم قارن هذه القيمة بقيمة السعة الحرارية

$$\text{المقاسة عملياً} \quad 2.4 \times 10^3 \text{ J (kg mole)}^{-1} \text{ K}^{-1}$$

٧ - أوجد الحرارة الذرية لكل من الألومنيوم والنحاس عند درجة K .

$$\theta(\text{Cu}) = 398 ; \theta(\text{Al}) = 315$$

قارن هذه القيم بالحرارة الذرية الإلكترونية عند نفس الدرجة

$$E_F(\text{Al}) = 11.7 \text{ eV} ; E_F(\text{Cu}) = 7.1 \text{ eV}$$

٨ - اعتبر شبكة خطية من N ذرات . ماذا يكون التوزيع الطيفي للترددات باعتبار

تقرير ديباي ؟ افترض أن سرعة الصوت V_0 وارسم هذا التوزيع بيانياً ؟

ماذا يكون أكبر تردد لانتشار الفوتونات على الشبكة ؟ أوجد الطاقة الداخلية للشبكة

U عند درجة الحرارة T ، ثم أثبت أن الحرارة الذرية لهذه الشبكة عند الدرجات المنخفضة

تناسب طردياً مع درجة الحرارة المطلقة T .

obeikandl.com